

УДК 621.923

## ОПТИМИЗАЦИЯ СТРУКТУРЫ И ПАРАМЕТРОВ ТЕХНОЛОГИЧЕСКОЙ ОПЕРАЦИИ С УЧЕТОМ ОГРАНИЧЕНИЙ ПО КАЧЕСТВУ ОБРАБОТКИ

Новиков Ф.В., докт. техн. наук

(г. Харьков, Украина)

*In work the approach to optimization of structure and parameters of technological operation is offered in view of restrictions on quality of processing.*

Традиционно задачи оптимизации технологических процессов обработки решаются в рамках структурно-параметрической оптимизации с использованием эмпирических зависимостей основных технологических показателей обработки. Для этого чисто интуитивно на основе производственного опыта выбираются несколько вариантов технологического маршрута, математически описываются и после решения задачи оптимизации выбирается наиболее оптимальный вариант. Затем производится уточненный расчет оптимальных параметров технологических операций (режимов резания и т.д.). Однако, данный подход не гарантирует выбора оптимального варианта технологического маршрута обработки, т.к. в числе рассматриваемых вариантов его может просто не оказаться.

Чтобы более обоснованно подойти к выбору оптимального варианта маршрута обработки (или структуры операции), следует использовать теоретические (аналитические) подходы к решению задач структурно-параметрической оптимизации, основанные на разработанных математических (аналитических) моделях рассматриваемых процессов обработки.

Рассмотрим первоначально задачу оптимизации структуры и параметров операции обработки с учетом

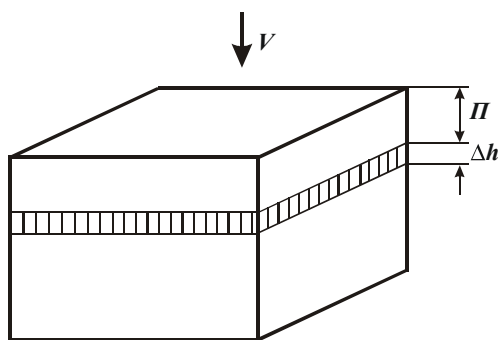


Рис. 1. Расчетная схема.

учитывающий характеристики режущего инструмента и обрабатываемого материала, режимы резания.

Тогда при обработке в один переход основное время обработки  $\tau$  определится простой зависимостью

$$\tau = \frac{\Pi}{V_0} = A \cdot \frac{\Pi}{\Delta h} \quad (2)$$

При обработке в два перехода основное время обработки  $\tau$  определится как сумма двух слагаемых

$$\tau = \tau_1 + \tau_2 = \frac{\Pi_1}{V_1} + \frac{\Pi_2}{V_2}, \quad (3)$$

где  $\Pi_1$ ,  $\Pi_2$  - соответственно припуски, удаляемые на первом и втором переходах, м;  $V_1$ ,  $V_2 = V_0$  - соответственно скорости радиальной подачи, реализуемые на первом и втором переходах, м/с.

На первом переходе величина  $\Delta h_1$  может быть больше, чем на втором переходе  $\Delta h_2$ . При этом справедливы зависимости

$$\begin{aligned} \Delta h_1 &= A \cdot V_1, \\ \Delta h_2 &= \Delta h = A \cdot V_0. \end{aligned} \quad (4)$$

Величины удаляемых припусков  $\Pi_1$  и  $\Pi_2$  определяются из уравнений:

$$\begin{aligned} \Pi_1 + \Delta h_1 &= \Pi + \Delta h, \\ \Pi_2 &= \Delta h_1 - \Delta h. \end{aligned} \quad (5)$$

С учетом зависимости (4) величины  $\Pi_1$  и  $\Pi_2$  выразятся

$$\begin{aligned} \Pi_1 &= \Pi + \Delta h - A \cdot V_1, \\ \Pi_2 &= A \cdot V_1 - \Delta h. \end{aligned} \quad (6)$$

Подставим зависимости (6) в зависимость (3)

$$\tau = \frac{\Pi + \Delta h - A \cdot V_1}{V_1} + \frac{A \cdot V_1 - \Delta h}{V_0} = \frac{\Pi + \Delta h}{V_1} + \frac{A \cdot V_1}{V_0} - 2 \cdot A. \quad (7)$$

Здесь параметры  $\Pi$ ,  $\Delta h$ ,  $V_0$ ,  $A$  заданы, неизвестна скорость  $V_1$ .

Как видим, скорость  $V_1$  оказывает на основное время обработки  $\tau$  неоднозначное влияние. Следовательно, имеет место экстремальная зависимость функции  $\tau$  от скорости  $V_1$ . Для определения экстремума функции  $\tau$  про дифференцируем ее по переменной  $V_1$  и первую производную приравняем к нулю:

$$\tau'_{V_1} = -\frac{(\Pi + \Delta h)}{V_1^2} + \frac{A}{V_0} = 0.$$

Откуда

$$V_1 = \sqrt{\frac{V_0}{A} \cdot (\Pi + \Delta h)} = V_0 \cdot \sqrt{\frac{\Pi}{\Delta h} + 1} = \frac{1}{A} \cdot \sqrt{(\Pi + \Delta h) \cdot \Delta h}. \quad (8)$$

Из зависимости (8) следует, что скорость  $V_1$  больше скорости  $V_0$  ( $V_1 > V_0$ ).

Определим наличие минимума или максимума в точке экстремума. Для этого определим вторую производную функции  $\tau$  в точке экстремума:

$$\tau''_{V_1} = \frac{2 \cdot (\Pi + \Delta h)}{V_1^3} > 0.$$

Поскольку в точке экстремума вторая производная функции  $\tau$  положительна, то имеет место минимум функции  $\tau$ , рис. 2.

Минимальное значение основного времени обработки  $\tau_{min}$  определим путем подстановки зависимости (8) в (7):

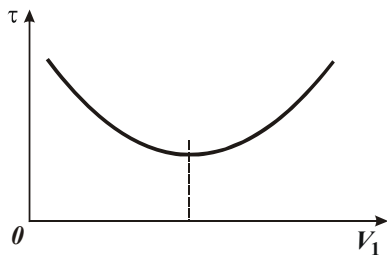


Рис. 2. Зависимость основного времени обработки  $\tau$  от скорости  $V_1$ .

$$\tau_{min} = 2 \cdot A \cdot \left[ \sqrt{\frac{\Pi}{\Delta h} + 1} - 1 \right]. \quad (9)$$

Умножим и разделим зависимость (9) на сопряженную величину  $\left[ \sqrt{\frac{\Pi}{\Delta h} + 1} + 1 \right]$ :

$$\tau_{min} = 2 \cdot A \cdot \frac{\Pi}{\Delta h} \cdot \frac{1}{\left[ \sqrt{\frac{\Pi}{\Delta h} + 1} + 1 \right]}. \quad (10)$$

Исходя из зависимости (10), уменьшить основное время обработки  $\tau_{min}$  можно уменьшением отношения  $\Pi / \Delta h$ , т.е. уменьшением величины снимаемого припуска  $\Pi$  и увеличением толщины прогретого слоя  $\Delta h$  обрабатываемого материала.

Сравним зависимости (2) и (10), определяющие основное время обработки в один и два перехода. Нетрудно видеть, что эти зависимости отличаются лишь множителем

$$\frac{2}{\left[ \sqrt{\frac{\Pi}{\Delta h} + 1} + 1 \right]}.$$

Поскольку  $\Pi / \Delta h > 0$ , то данный множитель всегда меньше единицы. Следовательно, время обработки в два перехода меньше времени обработки в один переход. Чем больше отношение  $\Pi / \Delta h$ , тем меньше рассматриваемый множитель и выше эффект от применения обработки в два перехода.

Определим величины припусков  $\Pi_1$  и  $\Pi_2$ , удаляемых на первом и втором переходах:

$$\Pi_1 = \sqrt{\Pi + \Delta h} \cdot (\sqrt{\Pi + \Delta h} - \sqrt{\Delta h}). \quad (11)$$

Умножим и разделим зависимость (11) на сопряженную величину  $(\sqrt{\Pi + \Delta h} + \sqrt{\Delta h})$ :

$$\Pi_1 = \frac{\Pi}{1 + \sqrt{\frac{\Delta h}{\Pi + \Delta h}}}. \quad (12)$$

Величина припуска  $\Pi_1$ , удаляемого на первом переходе, тем больше, чем меньше  $\Delta h$  и больше  $\Pi$ .

Величина припуска  $\Pi_2$ , удаляемого на втором переходе, равна

$$\Pi_2 = \Pi - \Pi_1 = \frac{\Pi}{1 + \sqrt{\frac{\Pi}{\Delta h} + 1}}. \quad (13)$$

Как видим, величина  $\Pi_2$  увеличивается с увеличением  $\Delta h$  и  $\Pi$ .

Сравним значения  $\Pi_1$  и  $\Pi_2$ . Для этого установим их отношение

$$\frac{\Pi_1}{\Pi_2} = \sqrt{\frac{\Pi}{\Delta h} + 1}. \quad (14)$$

Отношение  $\Pi_1/\Pi_2$  больше единицы и увеличивается с увеличением  $\Pi$  и уменьшением  $\Delta h$ .

Для более полного представления о закономерностях обработки в два перехода определим основное время обработки, затрачиваемое на первом и втором переходах:

$$\tau_1 = \frac{\Pi_1}{V_1} = \frac{A \cdot \Pi}{\left[ \sqrt{(\Pi + \Delta h) \cdot \Delta h} + \Delta h \right]}, \quad \tau_2 = \frac{\Pi_2}{V_0} = \frac{A \cdot \Pi}{\left[ \sqrt{(\Pi + \Delta h) \cdot \Delta h} + \Delta h \right]}.$$

Из приведенных зависимостей следует, что  $\tau_1 = \tau_2$ , т.е. справедливы соотношения:

$$\frac{\Pi_1}{V_1} = \frac{\Pi_2}{V_0} \quad \text{или} \quad \frac{\Pi_1}{\Pi_2} = \frac{V_1}{V_0}. \quad (15)$$

Применим полученные зависимости для выработки более общего решения, позволяющего уменьшить основное время обработки (увеличить производительность обработки) с учетом ограничений по качеству обработки (величине  $\Delta h$ ).

Исходя из зависимости (10), основной путь уменьшения основного времени обработки  $\tau_{min}$  состоит в уменьшении величины снимаемого припуска на переходе. Это достигается применением обработки в  $n \rightarrow \infty$  переходов (многопереходной обработки) со съемом бесконечно малого припуска  $\Delta \Pi = \Pi/n$  на каждом переходе. Тогда, на первом переходе величина  $\Delta h$  (будем ее рассматривать условно  $\Delta \bar{h}$ ) может быть увеличена до значения снимаемого припуска  $\Pi$ , что, согласно зависимости (10), ведет к дополнительному уменьшению основного времени обработки  $\tau_{min}$ .

На втором переходе величина  $\Delta \bar{h}$  уменьшится на величину  $\Delta \Pi$ , т.е. будет равна  $\Delta \bar{h} = \Pi - \Delta \Pi$ .

На третьем переходе  $\Delta \bar{h} = \Pi - 2 \cdot \Delta \Pi$  и т.д.

На последнем ( $n$ -ном) переходе величина  $\Delta \bar{h}$  станет равной заданному (исходному) значению  $\Delta h$ .

На рис.3 показан характер изменения величины  $\Delta \bar{h}$  и основного времени обработки  $\tau_{min}$  по мере увеличения числа переходов  $n$ .

Скорость радиальной подачи  $V_1$  с учетом сказанного и, исходя из зависимости (8), опишется

$$V_1 = \frac{\Delta \bar{h}}{A}. \quad (16)$$

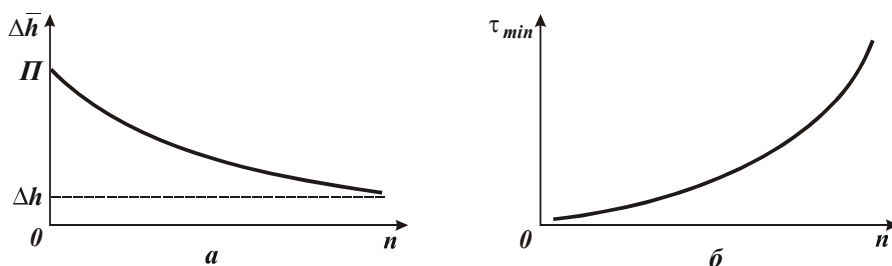


Рис. 3. Зависимости параметров  $\Delta \bar{h}$  (а) и  $\tau_{min}$  (б) от числа переходов  $n$ .

На первом переходе скорость  $V_1$  принимает наибольшее значение  $V_{10}$ , а на последнем переходе – наименьшее значение  $V_0$ , рис. 4.

Параметры  $V_{10}$  и  $V_0$ , согласно зависимости (8), определяются

$$V_{10} = \frac{\Pi}{A}, \quad V_0 = \frac{\Delta h}{A}. \quad (17)$$

Принимая в первом приближении зависимость уменьшения скорости  $V_1$  (с увеличением числа переходов  $n$ ) линейной, можно определить среднюю скорость

$$V_{cp} = \frac{V_{10} - V_0}{2} = \frac{\Pi - \Delta h}{2 \cdot A}. \quad (18)$$

Зная среднюю скорость  $V_{cp}$ , можно определить основное время многопереходной обработки

$$\tau_{min} = \frac{\Pi}{V_{cp}} = \frac{2 \cdot A \cdot \Pi}{\Pi - \Delta h} \approx 2 \cdot A. \quad (19)$$

Сравнивая данное значение с основным временем обработки в два перехода, описываемое зависимостью (10), видим, что многопереходная обработка характеризуется значительно меньшим временем, т.е. более производительна. Причем, чем больше снимаемый припуск  $\Pi$  и меньше величина  $\Delta h$ , тем значительнее эффект многопереходной обработки.

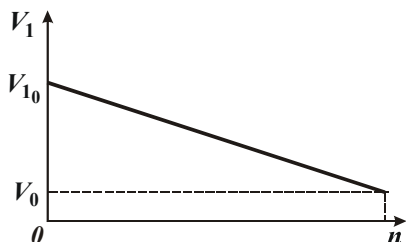


Рис. 4. Зависимость скорости  $V_1$  от числа переходов  $n$ .

Таким образом, наибольшую производительность обработки с учетом ограничения по температурному фактору (величине  $\Delta h$ ) можно достичь, используя обработку с переменной (уменьшающейся во времени) скоростью радиальной подачи.

#### Оптимизация структуры и параметров операции обработки с учетом ограничения по точности обработки

Определим наиболее производительный вариант обработки прямолинейного образца (рис. 1) по схеме врезного шлифования торцом круга с учетом ограничения по точности обработки  $\delta$ , обусловленной упругими перемещениями в технологической системе.

Предположим, что величина упругого перемещения  $\delta$  упрощенно выражается зависимостью

$$\delta = B \cdot V_0, \quad (20)$$

где  $V_0$  - скорость радиальной подачи шлифовального круга, м/с;  $B$  - размерный коэффициент, учитывающий характеристики круга и обрабатываемого материала, режимы резания.

При обработке в один переход основное время обработки  $\tau$  определится

$$\tau = \frac{\Pi}{V_0} = B \cdot \frac{\Pi}{\delta}. \quad (21)$$

где  $\Pi$  - величина снимаемого припуска, м.

При обработке в два перехода основное время  $\tau$  определится как сумма двух слагаемых

$$\tau = \tau_1 + \tau_2 = \frac{\Pi}{V_1} + \frac{\delta_1}{V_2}, \quad (22)$$

где  $V_1, V_2 = V_0$  - соответственно скорости радиальной подачи на первом и втором переходах, м/с;  $\delta_1$  - величина упругого перемещения, возникающего на первом переходе ( $\delta = B \cdot V_0$ ), который затем удаляется на втором переходе.

Преобразуем зависимость (22)

$$\tau = \frac{\Pi}{V_1} + B \cdot \frac{V_1}{V_0}. \quad (23)$$

В данной зависимости параметры  $\Pi, B, V_0$  заданы, неизвестным параметром является скорость  $V_1$ . Очевидно, с изменением  $V_1$  основное время обработки  $\tau$  изменяется по экстремальной зависимости. Для определения точки экстремума функции  $\tau$  приравняем первую производную  $\tau'_{V_1}$  нулю

$$\tau'_{V_1} = -\frac{\Pi}{V_1^2} + \frac{B}{V_0} = 0. \quad (24)$$

Откуда

$$V_1 = \sqrt{\frac{\Pi}{B} \cdot V_0} = V_0 \cdot \sqrt{\frac{\Pi}{\delta}} = \frac{1}{B} \cdot \sqrt{\Pi \cdot \delta}. \quad (25)$$

Определим знак второй производной:

$$\tau''_{V_1} = \frac{2 \cdot \Pi}{V_1^3} > 0.$$

Следовательно, в точке экстремума функция  $\tau$  принимает минимальное значение.

Подставляя в (23) зависимость (25), определим минимальное основное время обработки

$$\tau_{min} = B \cdot \sqrt{\frac{\Pi}{\delta}} + B \cdot \sqrt{\frac{\Pi}{\delta}} = 2 \cdot B \cdot \sqrt{\frac{\Pi}{\delta}}. \quad (26)$$

В результате пришли к зависимости, близкой по структуре к зависимости (10).

Исходя из зависимости (26), уменьшить основное время обработки  $\tau_{min}$  можно уменьшением величины снимаемого припуска  $\Pi$  и размерного коэффициента  $B$ , а также увеличением величины упругого перемещения в технологической системе (точности размера обработки)  $\delta$ . Заслуживает внимания то, что по длительности первый и второй переходы равны.

Сравнивая зависимости (26) и (21), видим, что основное время обработки в два перехода меньше основного времени обработки в один переход, т.е. обработка в два перехода более производительна.

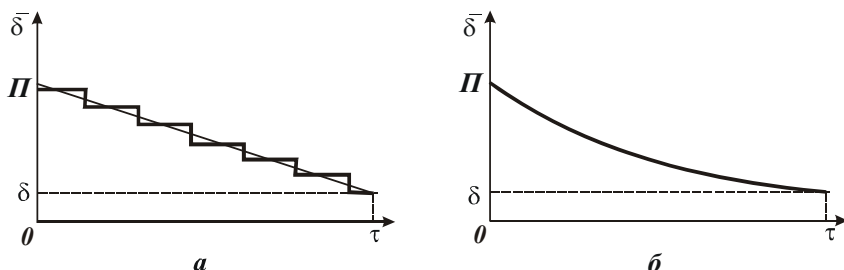


Рис. 5. Зависимости величины  $\bar{\delta}$  от времени обработки  $\tau$ .

Анализируя зависимость (26), можно сделать важный практический вывод.

Уменьшить фактическую величину припуска  $\Pi$  на каждом переходе (и тем самым уменьшить основное время обработки  $\tau_{min}$ ) можно созданием в технологической системе начального натяга величиной  $\Pi$  и его периодическим уменьшением во времени (на переходах) на величину  $\Delta\Pi \rightarrow 0$ .

Тогда на каждом переходе будет удаляться припуск величиной  $\Delta\Pi$ .

Текущая величина упругого перемещения  $\bar{\delta}$  в технологической системе будет уменьшаться с течением времени обработки от значения  $\bar{\delta} = \Pi$  (на первом переходе) до заданного значения  $\bar{\delta} = \delta$  (на последнем переходе) по линейному закону, как это показано на рис. 5,а.

Изменение величины упругого перемещения  $\bar{\delta}$  в диапазоне  $\delta < \bar{\delta} < \Pi$ , исходя из зависимости (26), создает дополнительный эффект уменьшения основного времени обработки  $\tau_{min}$ . Иными словами, основное время обработки  $\tau_{min}$  будет уменьшаться как от уменьшения величины снимаемого припуска на каждом переходе, так и от увеличения величины  $\bar{\delta}$ .

В общем случае в зависимости (26) вместо параметров  $\Pi$  и  $\delta$  необходимо рассматривать параметры  $\Delta\Pi = \Pi/n$  и  $\bar{\delta}$  (где  $n$  - количество переходов). Тогда зависимость (26) примет вид

$$\tau_{min} = 2 \cdot B \cdot \sqrt{\frac{\Pi}{n \cdot \bar{\delta}}} \tag{27}$$

Как отмечалось выше, с течением времени обработки параметр  $\bar{\delta}$  уменьшается. В соответствии с зависимостью (27), это ведет к увеличению  $\tau_{min}$ .

При условии создания начального натяга в технологической системе удаление припуска и уменьшение упругого перемещения может происходить автоматически. Под действием упруго-восстанавливающей силы технологическая система будет стремиться возвратиться в исходное состояние, что обеспечит удаление припуска.

На первом переходе обработки справедливо условие  $\bar{\delta} = \Pi$ . С течением времени обработки величина  $\bar{\delta}$  будет уменьшаться до заданного исходного значения  $\delta$ , определяемого точностью размера обработки.

Данная схема обработки на практике получила название выхаживание. Как показано в работе [1], интенсивность съема обрабатываемого материала и изменение упругого перемещения во времени при выхаживании подчиняются экспоненциальному закону, рис. 5,б. Величина  $\bar{\delta}$  изменяется по нелинейному закону.

Скорость радиальной подачи  $V_1$ , определяемая зависимостью (25), на первом переходе обработки будет равна (с учетом условия  $\bar{\delta} = \Pi$ ):

$$V_{10} = \frac{\Pi}{B} \tag{28}$$

На последнем переходе обработки (с учетом условия  $\Pi = \delta$ ):

$$V_0 = \frac{\delta}{B} \tag{29}$$

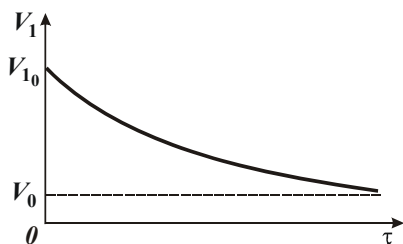


Рис. 6. Зависимость скорости  $V_1$  от времени обработки  $\tau$ .

Примерный характер изменения скорости радиальной подачи  $V_1$  с течением времени обработки показан на рис. 6. Если в первом приближении принять линейный характер изменения скорости  $V_1$  во времени, то средняя скорость  $V_{cp}$  определится

$$V_{cp} = \frac{V_{10} - V_0}{2} = \frac{\Pi - \delta}{2 \cdot B} \approx \frac{\Pi}{2 \cdot B} \tag{30}$$

Соответственно основное время обработки выразится

$$\tau = \frac{\Pi}{V_{cp}} = 2 \cdot B. \quad (31)$$

В итоге пришли к аналогичному результату, полученному в предыдущем параграфе и описываемому зависимостью (19).

Необходимо отметить, что решение, описываемое зависимостью (31), является более общим по сравнению с решением, описываемым зависимостью (19). Это связано с тем, что, создавая начальный натяг в технологической системе, можно обеспечить уменьшение во времени как величины упругого перемещения  $\bar{\delta}$ , так и величины  $\Delta \bar{h}$  (обусловленной температурным фактором), т.е. двух ограничений обработки одновременно.

Используя схему выхаживания, можно также обеспечить требуемую шероховатость обработки, поскольку с уменьшением скорости радиальной подачи во времени (как известно) параметр шероховатости обработки уменьшается.

Проведенный теоретический анализ справедлив для различных обрабатываемых поверхностей: плоских, цилиндрических (наружных и внутренних) и различных методов механической обработки: лезвийной и абразивной.

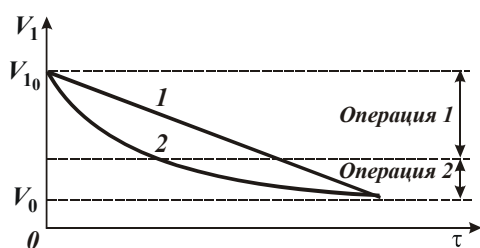


Рис. 7. Зависимости скорости  $V_1$  от времени обработки  $\tau$ : 1 – линейная зависимость; 2 – нелинейная зависимость.

Как показано выше, припуск на обработку эффективно удалять с переменной (уменьшающейся) во времени скоростью радиальной подачи. Поэтому, наиболее оптимальным вариантом обработки следует рассматривать обработку в одну операцию. Однако, в связи с необходимостью съема относительно больших припусков, как правило, технологических возможностей режущего инструмента не достаточно для обеспечения высокопроизводительного съема припуска и выполнения высоких требований по качеству и точности обрабатываемых поверхностей. В этом случае целесообразно обработку производить в две и более операции. Как показано на рис. 7, на первой операции обеспечивается съем основной части припуска с высокой производительностью обработки. На второй операции формируются параметры качества

и точности обрабатываемых поверхностей с меньшей производительностью обработки. При этом наибольший эффект будет достигаться при условии изменения (уменьшения) во времени скорости радиальной подачи (скорости съема припуска).

#### Литература

1. Теоретические основы резания и шлифования материалов: Учеб. пособие / А.В. Якимов, Ф.В. Новиков, Г.В. Новиков, Б.С. Серов, А.А. Якимов. – Одесса: ОГПУ, 1999.- 450 с.
2. Физико-математическая теория процессов обработки материалов и технологии машиностроения / Под общей редакцией Ф.В. Новикова и А.В. Якимова. В десяти томах. – Т. 1. “Механика резания материалов”. – Одесса: ОНПУ, 2002. – 580 с.